

### III-252 敷種の安定処理材により処理したヘドロの特性比較

九大 工学部 正員 ○林 嘉徳.

" " " M.R. カルマチャリヤ.

#### 1. はじめに.

最近の施工機械・施工技術の開発・発展に伴う、(1) 添加物混合による表層(浅層)、(2) は深層土質改良処理工法は、埋立地その他の超軟弱地盤の改良工法として、(1) は公害ヘドロの封じ込め工法として、有力なものとなりつつある。しかし、浅層改良処理工法(2) は、深層改良処理工法設計基準・指針といったものはまだ見当らない。ここでは、我が国に比較的豊富な石灰、ホルトランセメント、および木漆等の水硬性添加材によって処理したヘドロの一軸圧縮強度、曲げ強度、透水性、伸張せん断強度等の力学特性について比較・報告する。

#### 2. 試料と安定処理材.

使用したヘドロの含水特性・粒度曲線を図-1に示す。B試料は後深埋立て時に生じた須成粘土であり、T試料は都市河川の河口干潟から採取したヘドロである。用いた添加材と、混合比(ヘドロと水重量比)は次の通りである。

Q. Lime (生石灰) : 4.0, 8.0, 12.0, 16.0 (%)

G. Slag (フレンチ3000cm<sup>3</sup>/m水漆) : 6.0, 9.0, 12.0, 15.0 (%)

P. Cement (普通波特ランドセメント) : 2.0, 4.0, 6.0, 8.0 (%)

O. C. : 8.0, 12.0, 16.0 (%)

P. C. : 6.0 (%)

O.C. は粗微粒ヘドロへの有効性と固化時間の短縮を主目的とした。また、P.C. は、含重金属有機ヘドロへの適用性の改良を目的として開発されたセメント系の添加材である。

#### 3. 供試体の養生・作製・試験方法.

前述の混合比で添加混合した試料は、底部を木漆処理した硬質塩化ビニール管(内径29.5mm、肉厚10mm、高さ100mm)中に試料高さ約8.5cmに分3段に流し込み、その表面、約1.5cmに水張りし、室内で、所定の日数(7日、14日および28日)だけ養生した。

実施した力学試験は、一軸圧縮試験( $\phi 3.5 \times 7.5$  cm)、曲げ試験( $\square 8 \times 5 \times 20$  cm)、伸張せん断試験(貫入棒φ5cm<sup>2</sup>詳しいは参考文献)を用いた。また、コーン貫入試験である。

#### 4. 試験結果と考察.

##### 4.1. 一軸圧縮強度と混合比・材令の関係.

図-2, 3, 4は、B試料について、一軸圧縮強度( $\phi_u$ )と各添加材の混合比( $m$ )との関係を材令別に示したものである。Q.Lime, G.Slag, P.Cement は、各々4~8%, 6~8%, 12~16% の近傍で、( $m$ )の増加にしたがい伸びに頭打ちの状況が計られる。O.C. は、つれては、16%以上でも、かなりの( $\phi_u$ )の増加が期待できるようである。

また、Q.Lime の場合、 $m=4\sim 6\%$ 程度以下であれば、混合比より材令

図-1

Sample	LL%	PL%	I <sub>p</sub> %	G <sub>s</sub>	W <sub>r</sub> %
B	110.6	45.1	65.5	2.642	21.0
T	63.8	29.6	34.2	2.682	13.2

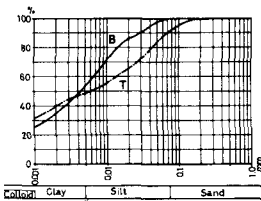


図-2.

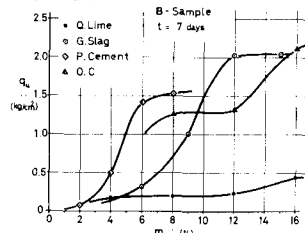


図-3.

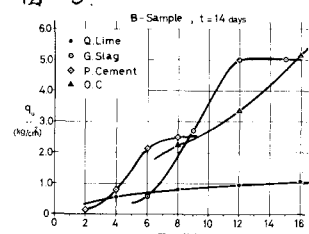
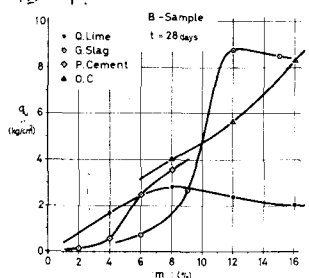


図-4.



$t = 53$  ( $\tau \leq t = 14 \sim 28$  日),  $q_u$  の增加が著しいに比べ, P.Cement は, 混合比による増加はあまり大きくな。一方 G.Slag は  $m = 12 \sim 14\%$  の添加が最も効果的か, 混合比  $t = 53$   $q_u$  の増加も顕著である。また, O.C は, セメントの欠点が改善されており, 16% 以上の添加量で  $t$  その混合比に応じた  $q_u$  の増加が期待できるし, G.Slag 同様, 混合比による  $q_u$  の増加も大きい。

図-5 は試料(供試体)の含水比と一軸圧縮強度との関係を示したものである。Q.Lime の場合,  $q_u$  の増加につれ, 含水比が大きく減少しているに比べ, G.Slag の強度増加は含水比の減少より粒子間の固着力の増大によるところが大きいと言えよう。このことは透水性の差違とも示唆している。

#### 4.2. 透水特性と処理材

図-6, 7 は, 混合28日時の透水特性における混合比の影響を, B 試料, および T 試料について示したものである。図-8 は, B 試料について, 透水係数と一軸圧縮強度との関係を示す。 $q_u$  が  $2 \sim 4$  ( $\text{kg}/\text{cm}^2$ ) 程度の場合, 透水性は, G.Slag が最も大きく, Q.Lime が最小である。中間に P.Cement, および O.C を位置する。

#### 4.3. 一軸圧縮強度と他の力学特性との相関性について

図-9, 10 は, B 試料および T 試料について曲げ引張り強さ ( $P_b$ ) と  $q_u$  との相関性を示したものである。

また, 図-11, 12 は, 同様に押しづきせん断力 ( $P$ ) と  $q_u$  との関係を示したものである。これらの相関係数 ( $r$ ) は  $0.965 \sim 0.990$  で相関性が極めて良いことを示している。

#### 5. おわりに

今後, 表層安定処理工の設計等において問題となる押しづきせん断破壊や, 曲げ引張り破壊について, 更に検討実験を重ねて考慮していきたい。

(謝辞) 本研究の実験, 1.852 年, 道路研究室卒業生の喜子, 伊崎の両君に「3 のてある。また, 東亜建設 (KK), 大平舗装 (KK), 新日本化成 (KK), および小野田セメント (KK) の皆様に御協力いただいた。併記して, 深謝の意を表しつぶ。(参考文献), 1. 第12回工質工学研究発表会「表土処理工法への諸力学特性 (4)(1), (4)(2), 2. 土質工学全誌, V1/22 m/s, 3. 表土処理工法」小野田集。

図-5.

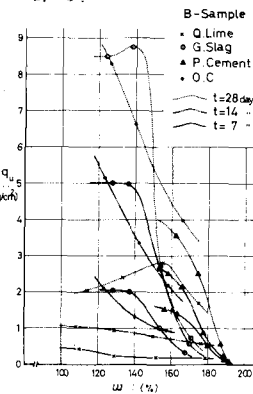


図-6

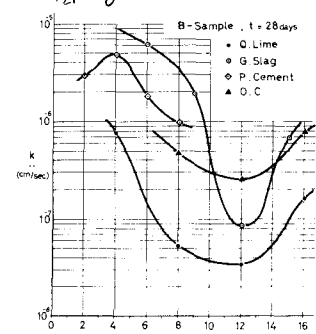


図-7.

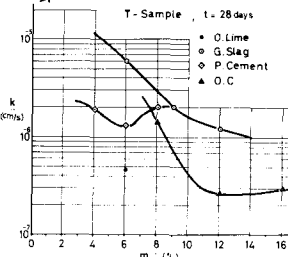


図-8

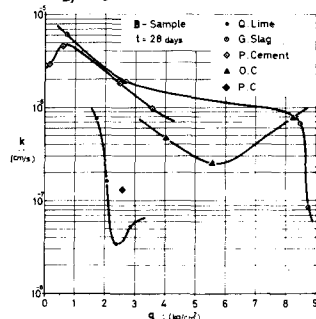


図-9

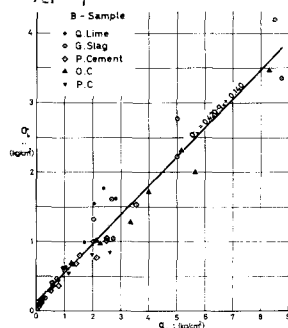


図-10

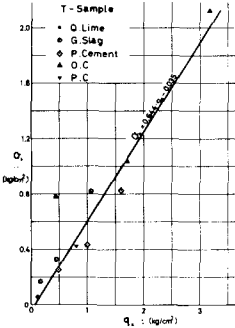


図-11

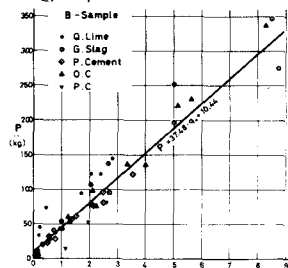


図-12

